

10150-22669850

101

100

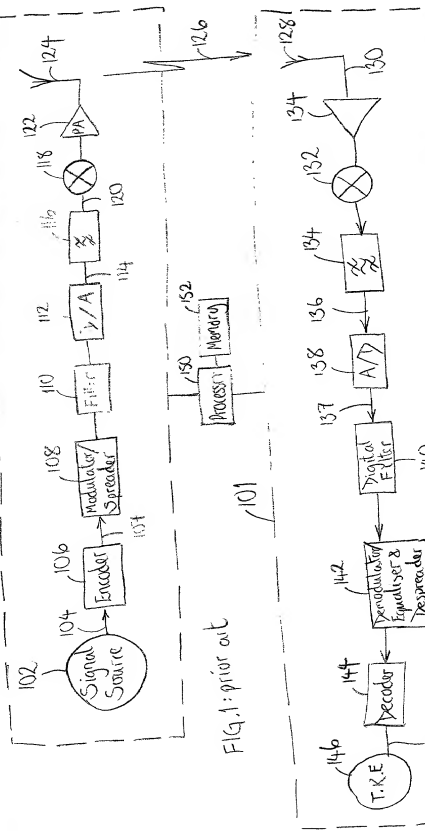


Fig. 1: prior art

200

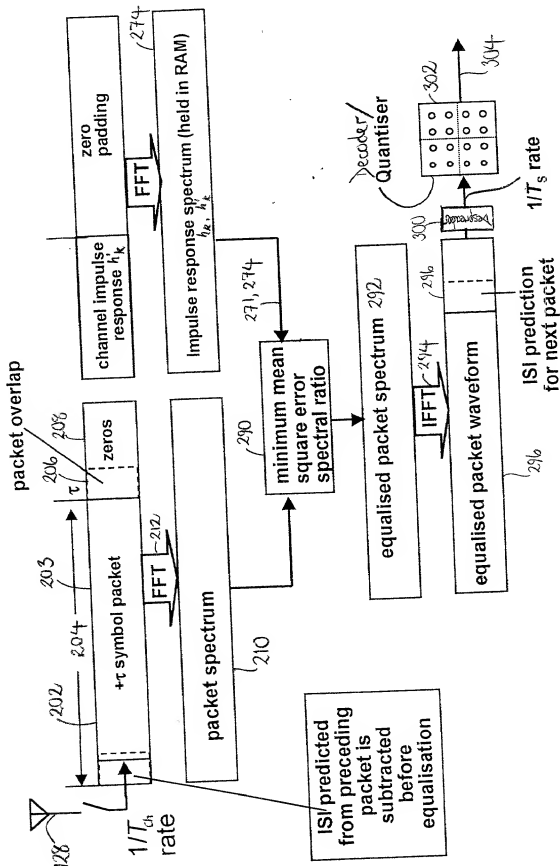
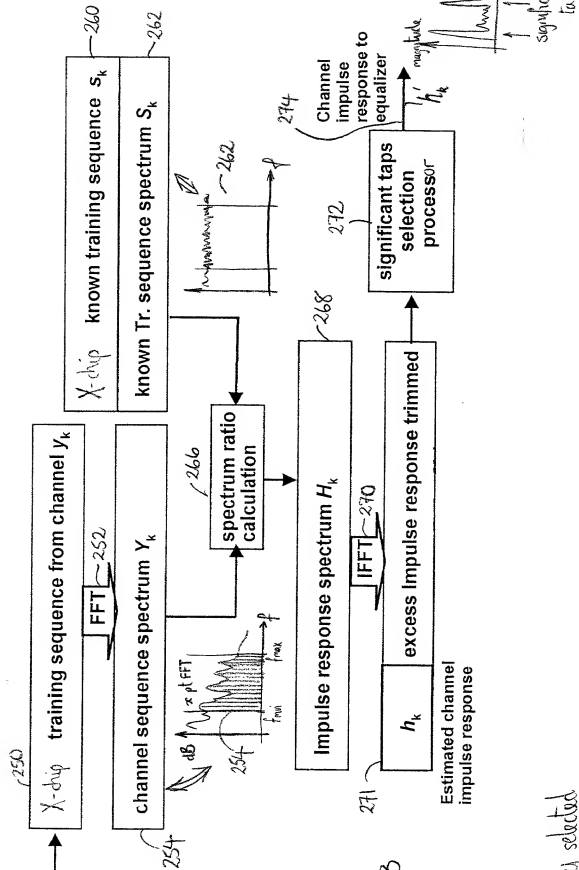
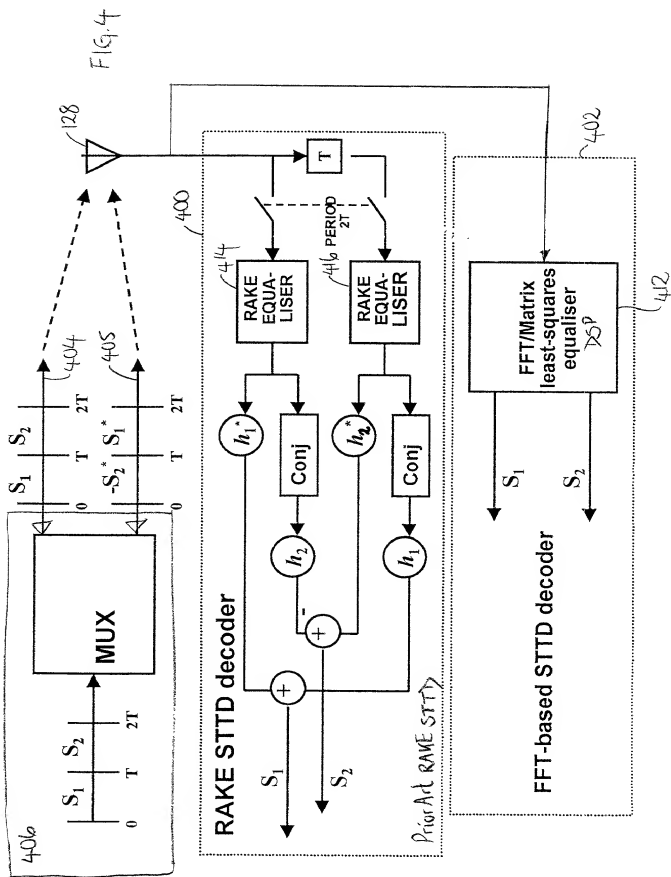


FIG. 2



X = arbitrary selected number of chips in training sequence set by system standard.



$h_1'(0) + 0$	$0 - h_2'(0)$	$-h_1'(0) + 0$	$0 - h_2'(0)$	0
$h_1'(1) + h_2'(0)$	$h_1'(0) - h_2'(1)$	$-h_1'(1) + h_2'(0)$	$-h_1'(0) - h_2'(1)$	0
$h_1'(0) + 0$	$0 - h_2'(0)$	$h_1'(0) - 0$	$0 + h_2'(0)$	0
$h_1'(1) + h_2'(0)$	$h_1'(0) - h_2'(1)$	$h_1'(1) - h_2'(0)$	$h_1'(0) + h_2'(1)$	0
$h_1'(2) + h_2'(1)$	$h_1'(1) - h_2'(2)$	$-h_1'(2) + h_2'(1)$	$-h_1'(1) - h_2'(2)$	0
$h_1'(3) + h_2'(2)$	$h_1'(2) - h_2'(3)$	$-h_1'(3) + h_2'(2)$	$-h_1'(2) - h_2'(3)$	0
$h_1'(2) + h_2'(1)$	$h_1'(1) - h_2'(2)$	$h_1'(2) - h_2'(1)$	$h_1'(1) + h_2'(2)$	0
$h_1'(3) + h_2'(2)$	$h_1'(2) - h_2'(3)$	$h_1'(3) - h_2'(2)$	$h_1'(2) + h_2'(3)$	0
$h_1'(4) + h_2'(3)$	$h_1'(3) - h_2'(4)$	$-h_1'(4) + h_2'(3)$	$-h_1'(3) - h_2'(4)$	0
$h_1'(5) + h_2'(4)$	$h_1'(4) - h_2'(5)$	$-h_1'(5) + h_2'(4)$	$-h_1'(4) - h_2'(5)$	0
$h_1'(4) + h_2'(3)$	$h_1'(3) - h_2'(4)$	$h_1'(4) - h_2'(3)$	$h_1'(3) + h_2'(4)$	0
$h_1'(5) + h_2'(4)$	$h_1'(4) - h_2'(5)$	$h_1'(5) - h_2'(4)$	$h_1'(4) + h_2'(5)$	0

Fig. 5 Layout of channel impulse responses in \bar{c}

6/6

600

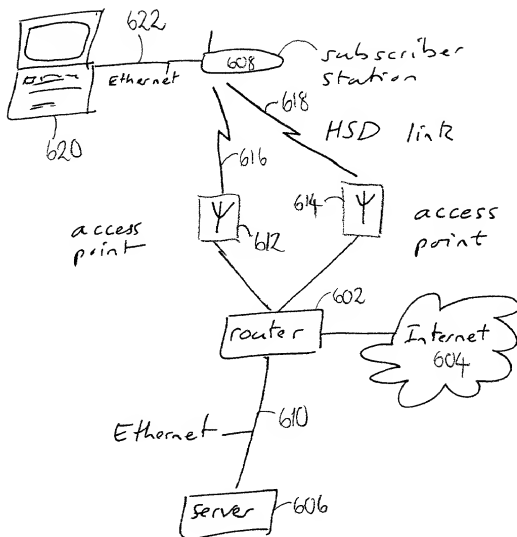


FIG. 6